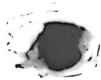


Si<sub>3</sub>H<sub>3</sub>



1955

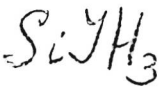
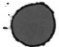
5853

$\text{SiH}_3\text{J}$  (mol.str.)

Dixon R.N., Sheppard N.  
J.Chem.Phys., 1955, 23, N 1, 215-216

The vibration-rotation ...

J



~~Dixon R. N., Sheppard M.~~ 1357

Silby  
Trans. Far. Soc., 1957, 53, 289

Красногорка - промежуточное выражение цветка синего и белого

Л1-6585-обр

Синий

SiH<sub>3</sub>J. Linton H.R., Nixon E.R. 1858  
Spectrochimica Acta, 12, vi, 41-26

U.K. collegr u and B. mag. SiH<sub>3</sub>J  
SiH<sub>3</sub>J.

of 2-20  $\mu$ . (4000 - 300 cm<sup>-1</sup>)

ent. mag.: S D 3 J.

$$f_d = 2,7746 \cdot 10^5 \text{ gcm/cm}$$

$$f_{dd} = 0,0287$$

$$f_D = 1,9514$$

$$f_{d\bar{d}} - f_{D\bar{d}} = 0,9001 \cdot 10^{-11}$$

$$f_{\beta\bar{\beta}} - f_{\bar{\beta}\beta} = 1,0380 \cdot 10^{-11}$$

$$\frac{3}{2}(f_{d\bar{d}} + f_{\bar{\beta}\beta}) - 3f_{D\bar{p}} = -0,1415 \cdot 10^{-11}$$

| Hudr.<br>zam. | Fazr.  |
|---------------|--------|
| 1525          | 1560,7 |
| 664           | 678,6  |
| 351,5         | 341,7  |
| 1687          | 1596,7 |
| (675)         | 684,1  |
| 435           | 433,8  |

SiBr<sub>3</sub>I  
and. wcf.

T. op.

Potential constants and thermodynamic properties of SiBr<sub>3</sub>I. G. Nagarajan (Univ. Annamalai). *Current Sci.* (India) 30, 377(1961).—By use of the fundamental frequencies (in cm.<sup>-1</sup>) of SiBr<sub>3</sub>I at 120 ( $A_1$ ), 225 ( $A_1$ ), 443 ( $A_1$ ), 79 ( $E$ ), 127 ( $E$ ), and 487 ( $E$ ), by considering the bond distances Si—I = 2.45A. and Si—Br = 2.19A., and by assuming that all the angles are tetrahedral, the potential consts., based on Wilson's group-theoretical method, were calcd. The values in 10<sup>5</sup> dynes/cm. are:  $f_D = 2.0113$ ;  $f_d = 2.4257$ ;  $f_{Dd} = 0.2832$ ;  $f_{dd} = 0.1534$ ;  $f_{d\theta} = 0.1522$ ;  $f_{d\phi} = 0.2614$ ;  $f_\theta - f_{\theta\theta} = 0.2025$ ;  $f_\phi - f_{\phi\phi} = 0.1533$ ;  $f_{D\theta} + f_{D\phi} = 0.1038$ ;  $f_{\theta\theta} + f_{\phi\phi} = -0.0515$ , and  $f_\theta + f_\phi = 0.3043$ . From these frequencies the thermodynamic properties such as heat content, free energy, entropy, and heat capacity were calcd. at 50–1600°K. A rigid-rotator, harmonic-oscillator model was assumed, and the values were calcd. for the ideal gaseous state at 1 atm. pressure. The moments of inertia were:  $I_{zz} = I_{yy} = 1255.9636$  4 WU sq. A. =  $2086.3188 \times 10^{-40}$  g. sq. cm. and  $I_{xx} = 1022.1576$  4 WU sq. A. =  $1697.9367 \times 10^{-40}$  g. sq. cm.

Seymour M. Kaye

C.A.1962.56.13

14940 cd

SiH<sub>3</sub>Y

SiD<sub>3</sub>Y

nos.

"nos".

(t.a.f.)

B9P-8497-IV

1962

Nagarajan Y.

"Y. Scient and Industr.  
Res"

1962, B21, v10, 463-7

$\text{SiH}_3\gamma$

Duncan J.L.

1964

$\text{SiD}_3\gamma$

Spectrochim. acta, 20, N12,  
1807

Взаимодействие атомов и  
ионов с нейтральными  
координац. VI. Атомное  
координатное описание  
группы

(ал.  $\text{SiH}_4$ ) III

M759 - 12

1965

$\text{SiH}_3\text{F}$ ;  $\text{SiH}_3\text{Cl}$ ;  $\text{SiH}_3\text{Br}$ ;  $\underline{\text{SiH}_3\text{J}}$ ;  $\text{SiD}_3\text{F}$ ;  
 $\text{SiD}_3\text{Cl}$ ;  $\text{SiD}_3\text{Br}$ ;  $\text{SiD}_3\text{J}$ ; ( ✓ )

Bald D.F., Buttler M.J., McKean D.C.  
Spectrochim. Acta, 1965, 21, N 3, 451-64

Frequencies shifts from gas...

J

PX, 1966, 2 101



orig.

10/10/65

M 1165

1965

$\text{SiD}_3\text{H}$ ,  $\text{SiH}_3\text{F}$ ,  $\text{SiH}_3\text{J}$ ,  $\text{SiF}_3\text{H}$ ,  $\text{SiF}_3\text{D}$ ,  $\text{SiCl}_3\text{H}$ ,  
 $\text{SiBr}_3\text{H}$ ,  $\text{SiBr}_3\text{Cl}$ ,  $\text{SiJ}_3\text{Cl}$ ,  $\text{SiCl}_3\text{Br}$ ,  $\text{SiCl}_3\text{J}$   
( $\text{Vi}$ , வினாக்கள், விடைகள் )

Venkateswarly K., Devi V.M.,  
Current sci (India), 1965, 34(12), 373-4

Mean amplitudes of vibrations  $\text{XY}_3\text{Z}$   
type of silicon compounds

CA., 1965, 63, N 9, 10843h

J

M 1191 - IV-BP 1966

$\text{CH}_3\text{F}$ ,  $\text{CD}_3\text{F}$ ,  $\text{SiH}_3\text{F}$ ,  $\text{SiD}_3\text{F}$  (Christie room.)

$X = \text{F}, \text{Cl}, \text{Br}, \text{J}, \text{CH}_3\text{Cl}, \text{CD}_3\text{Cl}, \text{SiH}_3\text{Cl}, \text{SiD}_3\text{Cl},$   
 $\text{CH}_3\text{Br}, \text{CD}_3\text{Br}, \text{SiH}_3\text{Br}, \text{SiH}_3\text{J}, \text{SiD}_3\text{J}, \text{SiD}_3\text{Br},$   
 $\text{CH}_3\text{J}, \text{CD}_3\text{J}$

Pulay P., Torok F.

Acta Chim. Acad. Sci. Hung. 1966, 47(3),  
273-9

Paratemor form of matrix F.II. Assignment  
with the aid the parameter form ( short  
communication )

F

J

CA., 1966, 65, N 2, 1397g

1968

Si H<sub>3</sub> Y

Si N<sub>3</sub> Y

расщеплен  
исследование

Szöke S.,  
Talosváry Gy.

G. Mol. Street, 2 (2),  
93

(con. ClH<sub>3</sub> Cl) III

$\text{SiH}_3\text{J}$

Venkateswarlu K., | 1968  
Devi V.

Proc. Indian Acad. Sci.,  
A67, N2, 71

Среднее аспектное колебание и постоянное коэффициент вращающегося кривошипа соединенное с краем молота  $\text{XY}_3\text{Z}$ .

(ал.  $\text{SiD}_3\text{H}$ ) III

SiH<sub>3</sub>J

Lojko M.S.,  
Beers V.

1969

b.p. noes.

J. Res. Nat. Bur. Stand.,  
A73, N2, 233

(Cet. H<sub>2</sub>O) III

SiH<sub>3</sub>Y

Kewley R. et al. 1930

SiH<sub>2</sub>D

Y

J. Mol. Spectrosc.,  
34(3), 390.

M.b.  
CHEKp

(all. SiH<sub>3</sub>F) III

B9-XIV-1306

1971

SiH<sub>3</sub>Y

Cradock S.

Ebsworth & A.

quaternary  
copper

Chem. Commun.,

1971, n 1, 57.

J

(Ac. Chgt) 4

$\text{SiH}_3$  ♀

$\text{SiH}_2$  ♀<sub>2</sub>

(♀)

Cradock S.

Whiteford R.A.

Trans. Far. Soc., 67 (12),  
3425

(con.  $\text{SiH}_3$  F) III

*SiH<sub>3</sub>J*

1973

5 Б227. Спектроскопические и физические данные

для йодсиланов. К химии кремния и германия. Часть 21.  
Fehér F., Wronka A. G., Mostert B. Spektroskopische und physikalische Daten von Jodsilanen. Beiträge zur Chemie des Siliciums und Germaniums, 21. Mitt. «Monatsh. Chem.», 1973, 104, № 2, 360—364 (нем.; рез. англ.)

Приведены данные по плотности, давлению паров, молек. рефракции и соотв.-щие инкременты для атомов и связей пр-ных силанов  $\text{SiH}_3\text{J}$  (I),  $\text{Si}_2\text{H}_5\text{J}$  (II) и  $\text{Si}_3\text{H}_7\text{J}$  (III). III представляет собой смесь изомеров  $\text{SiH}_3\text{SiH}_2\text{SiH}_2\text{J}$  и  $\text{SiH}_3\text{SiHJSiH}_3$ . Измерены спектры КР I—III и проведено отнесение наблюдаемых полос по типам колебаний. С использованием двух- и трехмассовых моделей вычислены силовые постоянные I и II. Получены значения для I и II, соотв., для связи  $\text{SiJ}$  1,81 и 1,50 мдн/А и для связи  $\text{SiSi}$  в II — 1,58 мдн/А. Часть XX см. РЖХим, 1973, 7B20.

А. П. Курбакова

X. 1974/1/5

71 X

H<sub>3</sub>SiI

1974

Universo P. M.

mercado livre  
pacífico

Cienc. Cult (Sao Paulo)  
1974, 26, (9)

875-76.

(au H<sub>3</sub>CF; II)

SiH<sub>3</sub>J

1976

Dieblist A.K. et al.

Indian J. Pure Appl. Phys.  
1976. 14(5), 356-9.

(catal.)

(all CH<sub>3</sub>F / III

$\text{SiH}_3\text{Y}$

Lammer 7779  
Adachi H.

1979

$\text{Y}, \text{Te}, \text{paeres}$

$\gamma$ . Electron Spectrosc.  
Relat. Phenom., 1979,  
16(4), 277-84.



(rec.  $\text{SiH}_3\text{F}$ ; III)

$\text{SiH}_3^+$  (ommited 8504) 1979  
Scharfenberg P.

Moskalyuk,  
Culipko,  
K. V. Vaz.,  
Packer

Chem. Phys. Lett.;  
1979, 65 (2), 304-309

(See Mosk. Ciflyuk; 5)

011117720000 11278

1980

H<sub>3</sub>SiJ

9 Д495. Колебательные спектры и силовые постоянные симметричных волчков. Анализ вращательной структуры  $v_3$  и некоторых горячих полос в молекулах H<sub>3</sub>SiJ в области 360 см<sup>-1</sup>. Vibrational spectra and force constants of symmetric tops. Rotational analysis of  $v_3$  and several hot bands of H<sub>3</sub>SiJ near 360 cm. Bürger H., Dobos S., Schulz P., Ruoff A. «J. Mol. Spectrosc.», 1980, 84, № 2, 478—486 (англ.)

В области 320—390 см<sup>-1</sup> с высоким разрешением (0,04 см<sup>-1</sup>) исследованы спектры ИК-поглощения H<sub>3</sub>SiJ натурального изотопич. состава в газовой фазе. Проведен анализ вращательной структуры колебательной полосы  $v_3$ , а также наиболее интенсивных горячих полос  $v_3 - 2v_3$ ,  $2v_3 - 3v_3$ ,  $v_6 - v_3 + v_6$ . Определены вращательные и ангармонич. постоянные молекул H<sub>3</sub>SiJ. На основе полученных данных вычислена форма контура полос колебательного поглощения в спектрах низкого разрешения.

К. Э. М.

Ф. 1981 № 9

H<sub>3</sub>SiI.

OTTOCK 11278

1980

( i )

✓ 94: 55248h Vibrational spectra and force constants of symmetric tops. Rotational analysis of  $v_3$  and several hot bands of monoiodosilane near 360 cm<sup>-1</sup>. Buerger, H.; Dobos, S.; Schulz, P.; Ruoff, A. (Anorg. Chem., Gesamthochsch. Univ., D-5600 Wuppertal, 1 Fed. Rep. Ger.). *J. Mol. Spectrosc.* 1980, 84(2), 473-86 (Eng). The gas-phase IR spectrum of natural H<sub>3</sub>SiI was recorded in the  $v_3$  range between 390 and 320 cm<sup>-1</sup> with a resoln. of 0.04 cm<sup>-1</sup>. The fundamental  $v_3$  and the 3 most intense "hot" bands  $2v_3 - v_3$ ,  $3v_3 - 2v_3$ , and  $v_3 + v_6 - v_5$  were detected. The mol. parameters  $\nu_0$ ,  $x_{33}$ ,  $x_{36}$ ,  $B''$ ,  $\alpha_3^A$ ,  $\alpha_3^B$ , and  $D_u$  were detd. by a least-squares anal. of the *P* and *R* branches resolved into *J* lines ( $J \leq 110$ ) and by a band contour simulation procedure, resp.

C. 1. 1981. 92 N8

оттиск 11278 1980

$H_3SiJ$

18 Б292. Колебательные спектры и силовые постоянные молекул типа симметричного волчка. Анализ вращательной структуры полосы  $\nu_3$  и нескольких горячих полос  $H_3SiJ$  вблизи  $360\text{ cm}^{-1}$ . Bürgel H., Dobos S., Schulz P., Ruoff A. Vibrational spectra and force constants of symmetric tops. Rotational analysis of  $\nu_3$  and several hot bands of  $H_3SiJ$  near  $360\text{ cm}^{-1}$ . «J. Mol. Spectrosc.», 1980, 84, № 2, 478—486 (англ.)

ИК-спектр поглощения  $H_3SiJ$  измерен в области  $390—360\text{ cm}^{-1}$  с разрешением  $0,04\text{ cm}^{-1}$ . Спектр калиброван относительно вращательного спектра  $H_2O$ . Волновые числа спектральных линий измерены с абс. точностью лучше, чем  $0,01\text{ cm}^{-1}$ . Наблюдены основная полоса  $\nu_3$ , несколько «горячих» полос, наиболее интенсивные из к-рых  $2\nu_3 - \nu_3$  (относительная интенсивность 34%),  $3\nu_3 - 2\nu_3$  (9%) и  $\nu_3 + \nu_6 - \nu_6$  (11%). Из анализа частот разрешенных по  $I$  ( $I \leq 110$ ) линий  $P$ - и  $K$ -ветвей и контуров полос определены спектроскопич. постоянные (в  $\text{cm}^{-1}$ ).  
В. М. Михайлов

Х 1981 N 18

$\text{SiH}_3\text{I}$

1981

Pietro W. J., et al.

cuprukii,  
neopurii,  
pacriei.

Inorg. Chem. 1981, 20(11),  
3650 - 3654.

(see. Coegeen. R6; 11)

$\text{SiJH}_3$

1981

Sivakumar P.,  
Subramanian C., et al.  
Acta Cienc. Indica,  
nocte. [Sér.] Phys. 1981, 7(1-4),

53 - 55.

(au.  $\text{SiFH}_3$ ; III)

$\text{SiH}_3\text{J}$

1982

Buráček M., Černý Č.,  
Pavliček J.

Picur.  
noem.

Chem. listy, 1982,  
76, N 4, 375-388.

(cur.  $\text{SiH}_4$ ; III)

$H_3SiJ$

Омск 14143

1982

) 21 Б293. Колебательные спектры и силовые постоянные симметричных волчков. XXV. Колебательно-вращательный спектр  $H_3SiJ$  в области фундаментальной полосы  $v_6$  около  $600 \text{ см}^{-1}$ . Bürger H., Rahner A., Schulz P., Ruoff A., Deroche J. C. Vibrational spectra and force constants of symmetric tops XXV. Rotovibrational spectrum of the fundamental  $v_6$  of  $H_3SiJ$  near  $600 \text{ cm}^{-1}$ . «Mol. Phys.», 1982, 45, № 3, 721—731 (англ.)

С высоким разрешением ( $0,04 \text{ см}^{-1}$ ) измерен ИК-спектр поглощения  $H_3SiJ$  в области  $600 \text{ см}^{-1}$ . Помимо линий вращательной структуры фундаментальной полосы  $v_6$  наблюдались также линии горячих полос  $v_6 + v_3 - v_3$ ,  $2v_6^{\pm 2} - v_6^{\pm 1}$  и  $2v_6^0 - v_6^{\pm 1}$ . В полосе  $v_6$  измерено, отнесено и обработано около 2000 линий с  $\Delta K, \Delta I = \pm 1$ .

М.Н., 01;

X. 1982, 19, N21

Приведены след. значения молек. постоянных  $H_3^{28}SiJ$   
(в  $\text{см}^{-1}$ ): основное состояние —  $A'' = 2,8006$ ,  $B'' =$   
 $= 0,107258$ ,  $D_J'' = 3,67 \cdot 10^{-8}$ ,  $D_K'' = 2,716 \cdot 10^{-5}$ ,  $D_{JK}'' =$   
 $= 7,0 \cdot 10^{-7}$ ;  $v_6^0 = 592,6065$ ,  $A' - A'' = 1,4724 \cdot 10^{-2}$ ,  $B' - B'' =$   
 $= -0,1983 \cdot 10^{-3}$ ,  $(A\zeta)' = 0,52172$ ,  $D_J' - D_J'' = 6,7 \cdot 10^{-10}$ ,  
 $D_K' - D_K'' = -8,4 \cdot 10^{-7}$ ,  $D_{JK}' - D_{JK}'' = -6 \cdot 10^{-9}$ ,  $q =$   
 $= -1,29 \cdot 10^{-5}$ ,  $\eta_J = 1,520 \cdot 10^{-6}$ ,  $\eta_K = 3,28 \cdot 10^{-5}$ ,  $x_{66} = 0,653$ ,  
 $g_{66} = 0,857$ .

Б. М. Ковба

H<sub>3</sub>SiI

Ottawick 14143

1982

197: 63318h Vibrational spectra and force constants of symmetric tops. XXV. Rovibrational spectrum of the fundamental  $\nu_6$  of iodosilane near 600 cm<sup>-1</sup>. Buerger, H.; Rahner, A.; Schulz, P.; Ruoff, A.; Deroche, J. C. (Anorg. Chem., Univ. Wuppertal, D-5600 Wuppertal, 1 Fed. Rep. Ger.). *Mol. Phys.*, 1982, 45(3), 721-31 (Eng). The IR spectrum of H<sub>3</sub>SiI was investigated with a resoln. of 0.04 cm<sup>-1</sup> in the region of the fundamental  $\nu_6$  near 600 cm<sup>-1</sup>. About 2600  $\Delta K, \Delta J = \pm 1$  lines were measured, assigned, and fitted by different models, and a  $\sigma(J, K)$  value of  $3.9 \times 10^{-3}$  cm<sup>-1</sup> was achieved in the least-squares procedure. The hot bands  $2\nu_6^{+2} - \nu_6^{+1}$  and  $2\nu_6^0 - \nu_6^{-1}$  were detected and confirmed by a rovibrational anal. of the parallel and perpendicular components of  $2\nu_6$ . Information concerning the perturbed  $\nu_3 + \nu_6$  state was obtained from the anal. of  $\nu_6 + \nu_3 - \nu_3$  for which several Q branches were detected and assigned.

Lek Creekings,  
Di

C.A. 1982, 97, N8

$H_3SiJ$

Донбаск 14/43 1982

10 Д350. Колебательные спектры и силовые константы симметричных волчков. Ч. 25. Колебательно-вращательный спектр  $H_3SiJ$  в области основной полосы  $v_6$  около 600 см<sup>-1</sup>. Vibrational spectra and force constants of symmetric tops XXV. Rovibrational spectrum of the fundamental  $v_6$  of  $H_3SiJ$  near 600 cm<sup>-1</sup>. Bürger H., Rahner A., Schulz P., Ruoff A., Deroche J. C. «Mol. Phys.», 1982, 45, № 3, 721—731 (англ.)

Получены спектры ИК-поглощения паров  $SiH_3J$  в слое 18,6 см при давл. 2—30 мм рт. ст. в области 500—670 см<sup>-1</sup> с разрешением 0,04 см<sup>-1</sup>. Измерены частоты линий с точностью  $5 \cdot 10^{-3}$  см<sup>-1</sup>, выполнено их отнесение к основной полосе  $v_6$  молекулы  $^{28}SiH_3J$  и ее изотопозамещенным с  $^{29}Si$  и  $^{30}Si$ , а также горячим переходам  $v_6 + v_1 - v_3$ ,  $2v_6 - v_6$  основной компоненты. Приведены частоты Q-ветвей полос горячих переходов. Оп-

$\nu_i, \text{ см.}^{-1}$

Ф. 1982, 18, N 10

ределены колебательные частоты компонент полосы  $2v_6 - v_6$ . С привлечением микроволни. данных выполнены вращательный анализ полосы  $v_6$ , основанный на измеренных частотах 2200 линий с  $K \leq 18$  и  $J \leq 75$ , при анализе учтены параметры  $\eta_j$  и  $\eta_k$  кориолисова взаимодействия и  $l$ -резонанс. Приведены колебательная частота  $v_6 = 592,61 \text{ см}^{-1}$ , величины изменений вращательных постоянных  $A$  и  $B$  при колебательном возбуждении, константы кориолисова взаимодействия и  $l$ -резонанса. Библ. 17.

М. В. Г.

*SiH<sub>3</sub>I*

*Ottlück 1450.2*

*1982*

*1/8 Chemps*

' 96: 225712r Microwave spectra in the  $\nu_3$ ,  $2\nu_3$ , and  $\nu_6$  excited states of iodosilane. Nakagawa, Jun; Hayashi, Michiro (Fac. Sci., Hiroshima Univ., Hiroshima, Japan). *J. Mol. Spectrosc.* 1982, 93(2), 441-4 (Eng). Microwave spectra in the  $\nu_3$ ,  $2\nu_3$ , and  $\nu_6$  vibrational excited states of SiH<sub>3</sub>I were measured. The obsd. frequencies were fitted by a nonlinear least-squares method and mol. consts. are given. The vibration rotation const. obtained is in quite good agreement with that obtained from an IR study. The vibrational dependence of the quadrupole coupling consts. is clearly recognized as well as that of the rotational consts.

C. A. 1982, 96, N 26.

*SiH<sub>3</sub>J*

Омск 14502

1982

12 Д555. Микроволновые спектры йодосилана в возбужденных состояниях  $v_3$ ,  $2v_3$  и  $v_6$ . Microwave spectra in the  $v_3$ ,  $2v_3$ , and  $v_6$  excited states of iodosilane. Nakagawa Jun, Hayashi Michiyo. «J. Mol. Spectrosc.», 1982, 93, № 2, 441—444 (англ.)

В диапазоне 12—33 ГГц исследован микроволн. спектр молекулы  $\text{SiH}_3\text{J}$ . Идентифицированы линии вращательных переходов с  $J < 5$  в основном состоянии и в возбужденных колебательных состояниях с  $v_3 = 1$ ,  $v_3 = 2$  и  $v_6 = 1$  и также квадрупольная сверхтонкая структура линий. Определены значения вращательной постоянной  $B_v$ , постоянных квартичного центробежного искажения  $D_J$  и  $D_{JK}$  и постоянной квадрупольной связи  $eqQ$  ядра йода для исследуемых колебательных состояний.

М. Р. Алиев

90. 1982, 18, N 12

*SiH<sub>3</sub>J*

*Ottawa* 14.5.0.2 1982

24 Б299. Микроволновые спектры йодсилана в возбужденных состояниях  $v_3$ ,  $2v_3$  и  $v_6$ . Nakagawa Ип, Hayashi Michiro. Microwave spectra in the  $v_3$ ,  $2v_3$ , and  $v_6$  excited states of iodosilane. «J. Mol. Spectrosc.», 1982, 93, № 2, 441—444 (англ.)

Измерен в области частот 12—33 ГГц МВ-спектр йодсилана,  $\text{SiH}_3\text{J}$ , в возбужденных колебательных состояниях  $v_3$ ,  $2v_3$  и  $v_6$ . Анализ спектра выполнен с учетом центробежного искажения третьего порядка,  $l$ -удвоения и квадрупольного взаимодействия. Для состояний  $v_3$ ,  $2v_3$  и  $v_6$  соотв. врацательные постоянные равны (в МГц)  $B = 3202,225(8)$ ;  $3188,947(12)$  и  $3209,670(10)$ , постоянные центробежного искажения (в кГц)— $D_J = 1,16(20)$ ,  $1,14(28)$  и  $1,27(25)$ ,  $D_{JK} = 19,3(6)$ ,  $19,7(9)$  и  $19,3(8)$  и постоянные квадрупольного взаимодействия (в МГц)— $eqQ = -1248,69(28)$ ,  $-1252,54(60)$  и  $-1247,29(46)$ . Полученные МВ-данные сопоставлены с результатами анализа колебательно-вращательного спектра йодсилана.

С. Н. Мурzin

*M. N.;*  
X. 1982, 19, N 24

H<sub>3</sub>SiI

1983

99: 79233d Vibrational spectra and force constants of symmetric tops. Rotational analysis of the  $\nu_2$ ,  $\nu_5$ ,  $\nu_3 + \nu_6$  infrared system of silyl iodide near 900 cm<sup>-1</sup>. Lattanzi, F.; Di Lauro, C.; Buerger, H.; Schulz, P. (Dip. Chim., Univ. Calabria, I-87030 Cosenza, Italy). *Mol. Phys.* 1983, 48(6), 1209-19 (Eng). The IR spectra of H<sub>3</sub>SiI at 800-1050 cm<sup>-1</sup> was recorded with a resoln. of 0.04 cm<sup>-1</sup> and rotationally analyzed. Features related to the Fermi resonance between  $\nu_5$  and  $\nu_3 + \nu_6$  and to the Coriolis x,y by resonance between  $\nu_2$  and  $\nu_5$  were explained, and a set of vibration-rotation parameters for the 3 bands was detd. by least-squares calcns.,  $\sigma(J,K) = 9.4 \times 10^{-3}$  cm<sup>-1</sup>. The Fermi resonance matrix replacement |W<sub>356</sub>| was 3.7859 cm<sup>-1</sup> and the vibrational frequencies were  $\nu_2^0 = 904.551$ ,  $\nu_5^0 = 941.0746$ , and  $(\nu_3 + \nu_6)^0 = 953.688$  cm<sup>-1</sup>. The anharmonicity const.,  $x_{36}$ , was 1.745 cm<sup>-1</sup>. Comparison was made with  $\nu_2/\nu_5/\nu_3 + \nu_6$  of H<sub>3</sub>SiCl, H<sub>3</sub>SiBr, and H<sub>3</sub>GeBr.

UK CREEKMP,  
Act. NOCM.

C.A. 1983, 99, N10

*H<sub>3</sub>SiJ*

1983

19 Б274. Колебательные спектры и силовые постоянные симметричных волчков. Вращательный анализ систем инфракрасных полос  $\nu_2$ ,  $\nu_5$ ,  $\nu_3 + \nu_6$  H<sub>3</sub>SiJ в области 900 см<sup>-1</sup>. Vibrational spectra and force constants of symmetric tops rotational analysis of the  $\nu_2$ ,  $\nu_5$ ,  $\nu_3 + \nu_6$  infrared system of H<sub>3</sub>SiJ near 900 cm<sup>-1</sup>. Lattanzi F., Di Lauro C., Bürgger H., Schulz P. «Mol. Phys.», 1983, 48, № 6, 1209—1219 (англ.)

Исследован ИК-спектр H<sub>3</sub>SiJ в области 1050—800 см<sup>-1</sup> с разрешением 0,04 см<sup>-1</sup>. Проанализирована вращательная структура полос  $\nu_2$ ,  $\nu_5$  и  $\nu_3 + \nu_6$ .  $\nu_2$  и  $\nu_5$  сильно связаны X, Y кориолисовым резонансом. Степень взаимного возмущения  $\nu_2/\nu_5$  из расчета гармонич. молек. силового поля весьма велика:  $|\zeta_{25}^y| \sim 0,65$ . Доп. возмущение  $\nu_2/\nu_5$  обусловлено уровнем  $\nu_3 + \nu_6$  ( $E$ ) и соотв. резонансом Ферми  $\nu_5/\nu_3 + \nu_6$ . Это действительно наблюдается и определяется по смещению Q-ветвей. Опре-

*Pi, М.Л.*

(H)

*X. 1983, 19, N19*



*ВзбесBr*

делен элемент  $|W_{356}|$  матрицы Ферми резонанса: 3,7859(7)  $\text{см}^{-1}$ , к-рый примерно в 3 раза ниже, чем в  $\text{CH}_3\text{J}$ .  $\nu_2$  и  $\nu_5$  сопровождаются «горячими» полосами:  $(\nu_6 + \nu_3) - \nu_3$ ,  $(\nu_5 + \nu_6) - \nu_6$  и  $(\nu_3 + \nu_5) - \nu_3$  (последняя — самая интенсивная «горячая» полоса). Методом наименьших квадратов определен ряд колебательно-вращательных параметров:  $\sigma(J, K) = 9,4 \cdot 10^{-3} \text{ см}^{-1}$ ; константа ангармоничности  $\chi_{36} = -1,745(9) \text{ см}^{-1}$ ,  $\nu_2^\circ = 904,551(1)$ ,  $\nu_5^\circ = 941,0746(8)$ ,  $(\nu_3 + \nu_6)^\circ = 953,688(3) \text{ см}^{-1}$ . Весьма близкая картина  $\nu_2/\nu_5/\nu_3+\nu_6$  наблюдается в изоэлектронном  $\text{B}_3\text{GeBr}$ .  
Е. Разумова

$H_3SiJ$

1983

11 Д540. Колебательные спектры и силовые постоянные симметричных волчков. Анализ вращательной структуры полос ИК-поглощения  $v_2$ ,  $v_5$  и  $v_3+v_6$   $H_3SiJ$  в области  $900 \text{ см}^{-1}$ . Vibrational spectra and force constants of symmetric tops. Rotational analysis of the  $v_2$ ,  $v_5$ ,  $v_3+v_6$  infrared system of  $H_3SiJ$  near  $900 \text{ см}^{-1}$ . Lattanzi F., di Lauro C., Bürgel H., Schulz P. «Mol. Phys.», 1983, 48, № 6, 1209—1219 (англ.)

$\gamma_i$ , м.л.

С помощью фурье-спектрометра высокого разрешения ( $0,04 \text{ см}^{-1}$ ) исследованы спектры ИК-поглощения  $H_3SiJ$  в газовой фазе. Измерения проведены в области  $800$ — $1050 \text{ см}^{-1}$ , содержащей колебательно-вращательные полосы  $v_2$ ,  $v_5$  и  $v_3+v_6$ . Проведен анализ колебательно-вращательной структуры, учитывающий резонанс Ферми колебаний  $v_5$  и  $v_3+v_6$ , а также кориолисово взаимодействие колебаний  $v_2$  и  $v_5$ . Получение значения молекулярных постоянных сопоставлены с данными для молекул  $H_3SiCl$ ,  $H_3SiBr$  и  $H_3GeBr$ . Библ. 15. К. Э. М.

90. 1983, 18, N 11

$\text{SiH}_3\text{Y}$

1984

Aron Y., Burnell J., et al.

Ces.  $\text{J. ellol. Struct.}$ , 1984, 110,  
nocees. N3-4, Suppl.: Theochern.,  
19, N3-4, 361-379.

(ces.  $\text{CH}_3\text{F}$ ; III)

S.I.A.39 (cm. 22226) 20/11/1984

Dhanalakshmi S., Lalit  
Kumar,

Брачан.  
ноемвр,  
меп.  
pacrem.

Indian J. Phys., 1984,  
B58, N 4-5, 421-426.

$\text{SiH}_3\text{Y}$   
 $\text{SiD}_3\text{Y}$ .

Люб. № 133

1984

Mercau N., Froca R.,  
et al. Robinson F.A., et al.  
Борнов.  
Использовано,  
и. п.,  
Среднее  
аварийное  
количество.

J. Comput. Chem.,  
1984, 5, N5, 427-440

$\text{SiJH}_3$

1983

$\text{SiJD}_3$

Mohan S., Bhoopathy T.J.

Indian J. Pure and Appl.  
Phys., 1983, 21, N 11, 680-  
- 682.

(ccp.  $\text{SiFH}_3$ ; III)

$\text{SiH}_3\text{J}$

1987

Schreider Winfried,  
Theel Walter.

cel.  
noct., J. Chem. Phys. 1987,

86 (2), 923 - 36.

(cel.  $\text{H}_3\text{CF}$ ;  $\text{III}$ )

*SiH<sub>3</sub>I*

1988

20 Б1258. Субдоплеровская инфракрасная лазерная спектроскопия SiH<sub>3</sub>I : определение  $eqQ$  в состоянии  $v_5 = 1$ . Sub-doppler infrared laser spectroscopy of SiH<sub>3</sub>I : determination of  $eqQ$  in the  $v_5 = 1$  state. Fruh J. M., Schupita W., Magerl G. «J. Mol. Spectrosc.», 1988, 128, № 2, 427—432 (англ.)

Методом лазерной спектроскопии насыщения с субдоплеровским разрешением измерена СТС линий в ветви  $^RQ_0(I)$  ( $I = 10 - 24$ ) полосы  $v_5$  молекулы SiH<sub>3</sub>I (давл. 0,5—1,5 Па). Для каждой линии приведены волновые числа 6 компонент СТ-структурь. С использованием лит. значений спектроскопич. постоянных для основного состояния рассчитана постоянная ядерного квадрупольного взаимодействия для уровня  $v_5 = 1$  ( $eqQ' = -1241,55 \pm 7,80$  МГц). Относительно большая погрешность определения  $eqQ$  связана с пренебрежением влияния центробежного искажения на постоянную квадрупольного взаимодействия и предположением независимости от  $I''$  постоянной  $eqQ$  в основном состоянии.

С. Б. Осин

Х. 1988, 19, № 20.

*SiH<sub>3</sub>I*

1988

(P5)

108: 212826x. Sub-Doppler infrared laser spectroscopy of iodosilane: determination of eqQ in the  $v_5 = 1$  state. Frye, Joan M.; Schupita, Walter; Magerl, Gottfried (Inst. Nachrichtentech. Hochfrequenztech., Tech. Univ. Wien, A-1040 Vienna, Austria). *J. Mol. Spectrosc.* 1988, 128(2), 427-32 (Eng). Sub-Doppler satn. spectroscopy in the  $^RQ_0(J)$  branch of the  $v_5$  fundamental of SiH<sub>3</sub>I was performed. For  $J$  ranging from 10 to 24, hyperfine splitting of the transitions due to nuclear quadrupole coupling in the mol. was obsd. From the measured data, the quadrupole coupling const. in the excited state was  $eqQ' = -1241.35 \pm 7.80$  MHz. Some possible reasons for the rather large std. deviation are briefly discussed.

C.A. 1988, 108, N24

$H_3^+ Si$

$(SiH_3^+)$

Lam. 30490

1988

Jacobson M.E.,

Ti, Di;

J. Phys. and Chem. Ref.  
Data, 1988, 17, N2, 425.

SiH<sub>3</sub>F

1992

Schneider W., Thiel W.

Calc. NCM,  
CREEPS ·  
NCMELH,  
ab initio  
pacrem

Chem. Phys. 1992, 159(1),  
49-66

(Calc. CH<sub>3</sub>F; III)

H<sub>3</sub>SiI

1997

127: 363650d High-resolution study of the infrared spectrum of H<sub>3</sub>SiI in the regions 330–680 and 1070–1360 cm<sup>-1</sup>: accurate determination of the ground state constants. Cheng, Jixin; Graner, Georges (Lab. Phys. Mol. Appl., CNRS, Univ. Paris-Sud, F-91405 Orsay, Fr.). *J. Mol. Spectrosc.* 1997, 185(1), 79–92 (Eng), Academic. High-resoln. FTIR spectra of H<sub>3</sub>SiI were recorded in the regions 330–680 cm<sup>-1</sup> ( $\nu_3/\nu_6$ ) and 1070–1360 cm<sup>-1</sup> (2 $\nu_6$ ). A detailed rovibrational study was carried out for the  $\nu_3$  and  $\nu_6$  fundamental bands, 2 $\nu_6^{+2}$  and 2 $\nu_6^0$  overtone bands, and 2 hot bands, 2 $\nu_6^{+2}-\nu_6^{+1}$  and 2 $\nu_6^0-\nu_6$ . A local resonance between the  $\nu_6 = 2$  and  $\nu_2 = \nu_3 = 1$  states was obsd. Ground state combination differences deduced from the  $\nu_3$ ,  $\nu_6$ , and 2 $\nu_6^{+2}$ , and 2 $\nu_6^0$  bands allowed one to obtain accurate  $B_0$ ,  $D_J^0$ , and  $D_{JK}^0$  consts. The  $\nu_6$ , 2 $\nu_6^{\pm 2}-\nu_6^{\pm 1}$ , and 2 $\nu_6^{+2}$  bands were used for the exptl. detn. of the  $A_0$  and  $D_K^0$  consts., whereas the hot band 2 $\nu_6^0-\nu_6$  served to make the internal calibration coherent. Ground state differences  $\Delta_K(J) = E_0(J, K) - E_0(J, K-3)$  were calcd. with K up to 12. By a least-squares fit, the authors obtained the following results:  $A_0 = 2.8426037(14)$  cm<sup>-1</sup> and  $D_K^0 = 2.75840(99) \times 10^{-5}$  cm<sup>-1</sup>.

fallen am  
CREKMP,  
M.N.

C.A. 1997, 127, N 26

H<sub>3</sub>SiI

[DM. 39475]

1998

129: 222553d High-resolution infrared spectrum of H<sub>3</sub>SiI in the  $\nu_1/\nu_4$  region near 2200 cm<sup>-1</sup>. Cheng, Jixin; Wang, Dong; Graner, Georges (Open Laboratory of Bond-Selective Chemistry and Institute for Advanced Study, University of Science and Technology of China, Hefei, Peop. Rep. China 230026). *J. Mol. Spectrosc.* 1998, 190(2), 240-247 (Eng), Academic Press. The FTIR spectrum of H<sub>3</sub>SiI was recorded in the  $\nu_1\nu_4$  region from 2075 to 2315 cm<sup>-1</sup> at an optical resoln. of  $2.3 \times 10^{-3}$  cm<sup>-1</sup>. The  $\nu_1\nu_4$  fundamental bands and the  $(\nu_1 + \nu_3) - \nu^3/(\nu_4 + \nu_3) - \nu_3$  hot bands were rotationally studied. Numerous local perturbations were obsd. in the  $\nu_1$  and  $\nu_4$  bands and in the hot bands. Without the lines involved in perturbations, >2900 transitions of the  $\nu_1/\nu_4$  bands were used to det. the band origins and the vibration-rotation parameters of the  $\nu_1 = 1$  and  $\nu_4 = 1$  states. A least-squares fit of 766 apparently unperturbed transitions of the hot bands gave the parameters of the  $\nu_1 = \nu_3 = 1$  and  $\nu_4 = \nu_3 = 1$  states. The l(2, 2) resonance in  $\nu_4$  and the A<sub>1</sub>-E Coriolis coupling between  $\nu_1$  and  $\nu_4$  were studied. Most of the local perturbations were studied individually using a simple model by which the main perturber for each resonance was identified. (c) 1998 Academic Press.

C.A. 1998, 129, v17